

## 風荷重に対する冷却塔の応力

林田大輔 正員 色部 順  
 林田大輔 学生員 ○佐藤 紀一  
 新田大学 学生員 伊藤 洋  
 新田大学 学生員 三浦 奉和

1. はじめに 双曲線型冷却塔の応力解析については、何人かの研究者がすでに解析してあり、その方法をまとめたものである。最近までこのように整理してあると、次の様にある。

- (i) Phillip L. Gould<sup>1)</sup>, Lang-Lip Lee<sup>2)</sup> ... Monolithic の複素力の表示法を用い、面内 bending moment を考慮に入れて解析している。
- (ii) Amica Soave<sup>3)</sup> ... 応力剛度法を用い、差分法を適用して解っている。
- (iii) Noel J. Gardner<sup>4)</sup> ... Bending Theory によると云ふことで、フリ合の方程式を変位で表して解析している。

ここでは荷重条件に模型実験による得られた風圧分布を考慮し、応力解析を行なってみた。水平面内外の風圧分布は、前文で示されたとおり風向軸に対称性を有し、変動が小さく、これを無視すれば、数列からなる Cosine 級数で表わすことができる。しかし、船底方向には、やや複雑な分布を呈する。この様な荷重条件に対して、shell 方程式の理論解を導くのは困難であるので、本報告における解析には差分法を用いた。

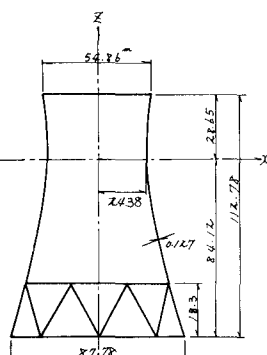
### 2. shell 形状

解析に用いた双曲線型冷却塔は Fig-1 に示すとおりである。

### 3. フリ合の方程式

shell の要素における力の成分は Fig-2 の様にして、面内力並びにモーメントに関する式を用いてフリ合の方程式を導き、次式となる。

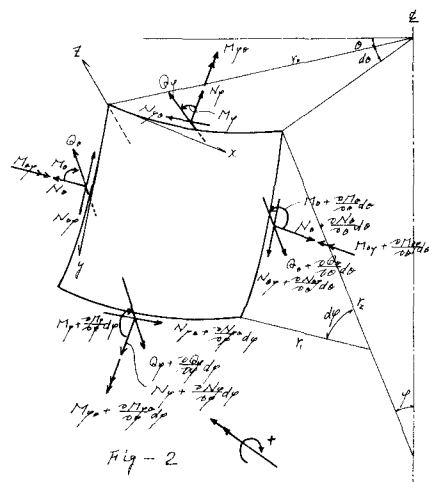
$$N_{xy} = N_{yx}, M_{xy} = M_{yx}$$



$$\frac{x^2 + y^2}{(24.38)^2} - \frac{z^2}{(55.56)^2} = 1.$$

式(3)を用いて、次式をつくり

式を得る。



$$N_x \frac{\partial N_x}{\partial y} + N_y \frac{\partial N_x}{\partial y} + N_x \frac{\partial N_y}{\partial y} - N_y \frac{\partial N_x}{\partial y} = 0 \quad (1)$$

$$N_x \frac{\partial M_{xy}}{\partial y} + (N_y - N_x) \frac{\partial M_x}{\partial y} + N_x \frac{\partial M_y}{\partial y} + (M_y - M_x) \cos \varphi + \frac{N_x \partial M_y}{\partial y} = 0 \quad (2)$$

$$N_x N_y \sin \varphi + \frac{\partial}{\partial y} [(M_y - M_x) \cos \varphi + \frac{N_x \partial M_y}{\partial y}] + N_x N_y + \frac{N_x \partial M_x}{\partial y} + N_x N_z = 0 \quad (3)$$

式中で力、モーメントを変位で表めし、変位が風向軸に固1/3勾配となることから

$$U = \sum_{n=0}^{\infty} U_n \sin n\theta \quad (4)$$

$$V = \sum_{n=0}^{\infty} V_n \cos n\theta \quad (5)$$

$$W = \sum_{n=0}^{\infty} W_n \cos n\theta \quad (6)$$

( $U_n, V_n, W_n$  は各々の関数である。)

とよくこれが表示される。また一方、荷重につけて

$$Z = \sum_{n=0}^{\infty} Z_n \cos n\theta \quad (7)$$

表めし得るウエーブ方程式は容易に変数分離でき、各々各項別に計算を行えば成り立つことになる。これより差分間隔1、差分近似式を導くことができる。また形状による取扱い割合で講演会場示す。

#### 4. 解析上の仮定

##### (i) 風圧分布の決定

冷却塔の模型と実際の構造物に働く風圧の測定比較等、H.J. Niemann によるとこれまでおり

$R_c = 6.7 \times 10^7$  の範囲で風圧係数 ( $= (P - P_0) / (\frac{1}{2} \rho V^2)$ )  $P$ : 構造物に働く風圧  
 $P_0$ : 構造物に働く静圧 ( $\equiv 0$ )  
 $\rho$ : 空気の密度  
 $V$ : 構造物に働く風速  
得た分布は、これまで文献と同様な形状を示す。すなはち、この分布が  $1/R_c = 1/10$  の風速の鉛直分布は、 $1/4$ 乗法則にしたがうものとした。

##### (ii) 断面は均質等方で、壁厚は一定とする。

##### (iii) 境界条件

(i) 自由端では  $N_y = M_y = 0$ ,  $(N_{yy} + \frac{M_{yy}}{R}) = 0$ ,  $(Q_y + \frac{1}{R} \frac{dM_{yy}}{d\theta}) = 0$  となる。

(ii) リング・ストラットに接する支承端では  $U = V = 0$ ,  $M_0 = 0$  となる。

#### 5. 計算結果

解析結果は講演会場示す。

#### 参考文献

i) P.L. Gould Binding of Hyperbolic Cooling Tower.  
Proc. ASCE, Vol. 93, ST 5, 1967.

ii) M. Soare Application of finite difference equation to shell Analysis.  
Pergamon Press, 1967.

iii) N.J. Gardner Response of Cooling Tower to Turbulent Wind.  
Proc. ASCE, Vol. 95, ST 10, 1969.